

文章编号:1671-6833(2004)04-0037-04

共沉淀法制备 $\text{Y}_2\text{O}_3/\text{ZrO}_2$ 超细粉体

张海军¹, 王桂红², 贾全利¹, 韩非¹, 李素平¹

(1. 郑州大学高温材料研究所,河南 郑州 450052;2. 郑州大学化学系,河南 郑州 450052)

摘要:以 $\text{ZrO(OH)}_4 \cdot 8\text{H}_2\text{O}$ 、 $\text{Y}(\text{NO}_3)_3 \cdot 6\text{H}_2\text{O}$ 、浓氨水等为起始原料,通过共沉淀工艺制备了 $\text{Y}_2\text{O}_3/\text{ZrO}_2$ 超细粉体。研究了 ZrO_2 晶种用量、前驱体反应温度、反应物浓度、反应体系pH值、分散剂用量、陈化温度、热处理温度等工艺条件对合成 $\text{Y}_2\text{O}_3/\text{ZrO}_2$ 超细粉的影响。结果表明:实验条件下制备的粉体的晶粒度在15 nm左右,二次粒径在100 nm左右。 $\text{Y}_2\text{O}_3/\text{ZrO}_2$ 超细粉的开始生成温度在400 ℃左右。

关键词: $\text{Y}_2\text{O}_3/\text{ZrO}_2$; 超细粉体; 共沉淀; 晶种

中图分类号:TQ 175

文献标识码:A

0 引言

$\text{Y}_2\text{O}_3/\text{ZrO}_2$ 粉体是重要的陶瓷原料,其应用十分广泛,既可以用来制备刀具、模具、阀门、轴承、发动机衬里等结构部件,还可制备多种功能材料元件如氧传感器、高温固体燃料电池、压电陶瓷、铁电陶瓷等。 $\text{Y}_2\text{O}_3/\text{ZrO}_2$ 超细粉的常规制备方法有:(1)共沉淀法,该法适用于制备各种不同化学配比的复合粉末,易于微量元素添加,且无需昂贵原料,是最常用的方法之一^[1~4]。(2)溶胶—凝胶法,该法能得到颗粒细小、粒度分布窄且分散性能好的粉体,但该法生产能力小,制备周期长,需要昂贵的金属醇盐为原料,不利于工业生产^[5~8]。(3)反胶团法,该法制得的 $\text{Y}_2\text{O}_3/\text{ZrO}_2$ 粉体分散性能好,粒度分布窄,但生产过程复杂,成本较高^[9~11]。(4)水热分解法,该法原料简单,但所得粉体粒度分布较宽,生产周期长,产量较小^[12~14]。作者以 $\text{ZrO(OH)}_4 \cdot 8\text{H}_2\text{O}$ 、 $\text{Y}(\text{NO}_3)_3 \cdot 6\text{H}_2\text{O}$ 、浓氨水等为起始原料,通过共沉淀工艺制备了 $\text{Y}_2\text{O}_3/\text{ZrO}_2$ 超细粉体,并研究了 ZrO_2 晶种用量、前驱体反应温度、反应物浓度、反应体系pH、分散剂用量、陈化温度等工艺条件对合成 $\text{Y}_2\text{O}_3/\text{ZrO}_2$ 超细粉的影响。

1 实验部分

实验条件见表1。

表1 实验条件

Tab. 1 Conditions of specimens

编号	晶种质量分数/%	反应温度/℃	浓度/(ml·pH值 ⁻¹ ·L ⁻¹)	DBS质量分数/%	陈化时间、温度
1#	0	20	0.8	10.0	0
2#	1	20	0.8	10.0	0
3#	0.5	20	0.8	10.0	0
4#	0.25	20	0.8	10.0	0
5#	0.5	30	0.8	10.0	0
6#	0.5	45	0.8	10.0	0
7#	0.5	80	0.8	10.0	0
8#	0.5	45	0.5	10.0	0
9#	0.5	45	0.05	10.0	0
10#	0.5	45	2	10.0	0
11#	0.5	45	0.5	12.0	0
12#	0.5	45	0.5	14.0	0
13#	0.5	45	0.5	10.0	0
14#	0.5	45	0.5	10.0	2
15#	0.5	45	0.5	10.0	1.5
16#	0.5	45	0.5	10.0	1
17#	0.5	45	0.5	10.0	0.5
18#	0.5	45	0.5	10.0	0
19#	0.5	45	0.5	10.0	0
20#	0.5	45	0.5	10.0	0
21#	0.5	45	0.5	10.0	0
					24 h /常温
					24 h /45 ℃
					24 h /70 ℃
					24 h /90 ℃

实验用的化学试剂有 $\text{ZrO(OH)}_4 \cdot 8\text{H}_2\text{O}$ 、 $\text{Y}(\text{NO}_3)_3 \cdot 6\text{H}_2\text{O}$ 、浓氨水、无水乙醇、十二烷基苯磺酸钠(DBS)等。按比例配制 $\text{ZrO(OH)}_4 \cdot 8\text{H}_2\text{O}/\text{Y}(\text{NO}_3)_3$ 混合溶液(Y_2O_3 含量为3%),加入适量的表面活性剂,在高

收稿日期:2004-08-06;修订日期:2004-09-11

基金项目:教育部重点实验室开放研究课题资助

作者简介:张海军(1970—),男,河南省洛阳市人,郑州大学副教授,博士,主要从事无机非金属材料与特种耐火材料的研究。

(C) 1994-2023 China Academic Journal Electronic Publishing House. All Rights Reserved. <http://www.cnki.net>

速搅拌的条件下向溶液中缓慢滴加浓氨水,所得沉淀陈化、抽滤、洗涤后得到 $\text{Y}_2\text{O}_3/\text{ZrO}_2$ 前驱体,前驱体室温干燥后,再于350~500℃煅烧处理得到 $\text{Y}_2\text{O}_3/\text{ZrO}_2$ 超细粉体,具体实验条件如表1所示。采用Philips X'pert Pro型X—射线衍射仪分析纳米粉体的相组成,采用Philips Profile Fit软件扣除衍射峰中的 $\text{K}\alpha_2$ 并计算试样各晶面衍射峰的半峰宽,采用Scherrer公式计算其晶粒大小,采用JSM-561LV型扫描电子显微镜观察粉体的显微形貌。

2 实验结果与分析

图1为350~500℃下热处理 $\text{Y}_2\text{O}_3/\text{ZrO}_2$ 前驱体所得粉体的XRD图谱。结果表明,350℃/2h热处理后,所得 $\text{Y}_2\text{O}_3/\text{ZrO}_2$ 粉体仍为非晶,热处理温度在400℃时即可以得到结晶状况良好的四方相氧化锆。

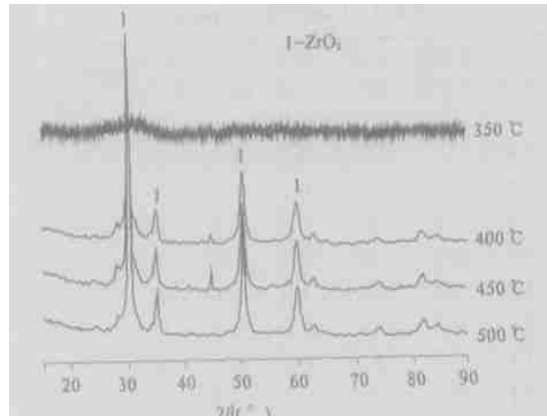


图1 不同热处理温度下 $\text{Y}_2\text{O}_3/\text{ZrO}_2$ 的粉体的XRD图谱

Fig. 1 XRD patterns of the specimen annealed at different temperature

图2为 $\text{Y}_2\text{O}_3/\text{ZrO}_2$ 粉体的晶粒度随 ZrO_2 晶种用量的变化关系。结果表明, $\text{Y}_2\text{O}_3/\text{ZrO}_2$ 粉体的晶粒度基本随 ZrO_2 晶种加入量的增加而减小。这是因为,在发生沉淀形成胶粒过程中,形核与长大两个过程是影响胶粒大小的两个因素。根据非均相成核理论,当反应体系中引入少量 ZrO_2 微粉做为晶种时,溶液中出现大量晶核,迅速降低溶液的过饱和度,抑制胶粒的二次成核及粒子生长,有利于生成粒径较小的粒子。反之当溶液内的晶核较少时,晶核的生长就较快,所得 $\text{Y}_2\text{O}_3/\text{ZrO}_2$ 粉体的粒径也较大。

图3为 $\text{Y}_2\text{O}_3/\text{ZrO}_2$ 粉体的晶粒度随体系反应温度的变化关系。结果表明:随着反应温度的升高, $\text{Y}_2\text{O}_3/\text{ZrO}_2$ 粉体的晶粒度有减小的趋势,但总体变化不大。

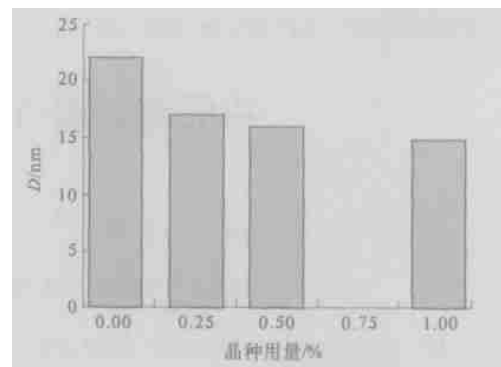


图2 $\text{Y}_2\text{O}_3/\text{ZrO}_2$ 粉体的晶粒度随 ZrO_2 晶种用量的变化关系

Fig. 2 Relationship between apparent crystallite size of $\text{Y}_2\text{O}_3/\text{ZrO}_2$ powder and content of ZrO_2 crystal seeds

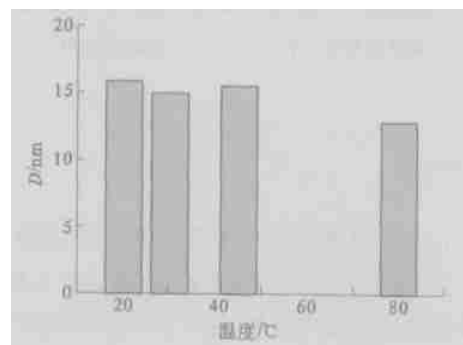


图3 $\text{Y}_2\text{O}_3/\text{ZrO}_2$ 粉体的晶粒度随反应温度的变化关系

Fig. 3 Relationship between apparent crystallite size of $\text{Y}_2\text{O}_3/\text{ZrO}_2$ powder and reaction temperature

通常反应物的浓度对沉淀工艺制备微细粉的影响较大。在一定反应条件下,增加反应物浓度,即增加了反应体系中沉淀离子的过饱和比,有利于沉淀粒子的超细化。但当反应物浓度过高时,体系的粘度就会增加,粒子间因Van de Waals力和表面张力的作用,相互碰撞的几率增加,促使团聚现象产生,从而使得粒子的粒径增大。图4的结果表明, $\text{Y}_2\text{O}_3/\text{ZrO}_2$ 粉体的晶粒度基本随反应物浓度的增加而增加。

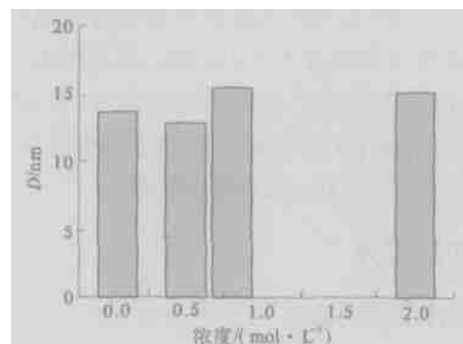


图4 $\text{Y}_2\text{O}_3/\text{ZrO}_2$ 粉体的晶粒度随反应物浓度的变化关系

Fig. 4 Relationship between apparent crystallite size of $\text{Y}_2\text{O}_3/\text{ZrO}_2$ powder and reactant concentration

由图5可以看出,实验条件下,pH值在10~14之间增加时, $\text{Y}_2\text{O}_3/\text{ZrO}_2$ 粉体的晶粒度呈下降趋势。这可以解释为:当 $\text{ZrO(OH)}_4 \cdot 8\text{H}_2\text{O}$ 溶于水后,一般认为发生聚合反应,锆主要以四聚体络合离子 $[\text{Zr}(\text{OH})_4(\text{H}_2\text{O})_16]^{8+}$ 形式存在。在加入氨水形成沉淀的过程中,随着体系pH值的增大,聚合度增大,进而形成多聚体络合离子,沉淀物实际上为多聚体络离子的团聚体。当体系的pH值较小时,沉淀物的聚合度较小,结构强度也相对较弱,在沉淀及干燥过程中,原生粒子之间会发生团聚;因而形成的粒子粒径较大;当体系pH值较大时,沉淀物由高聚体组成,体积膨大而疏松,粒子间相互联接成强度较大的三维网络状结构,因而在干燥过程中,使产品粉体较好地保持了原有粒子的性能,所以随pH值的增大,超细粒子的粒径呈减小趋势。

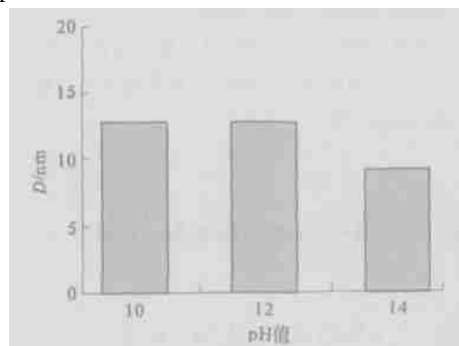


图5 $\text{Y}_2\text{O}_3/\text{ZrO}_2$ 粉体的晶粒度随pH值的变化关系

Fig.5 Relationship between apparent crystallite size of $\text{Y}_2\text{O}_3/\text{ZrO}_2$ powder and pH

图6的结果表明,表面活性剂十二烷基苯磺酸钠(DBS)的加入可以降低 $\text{Y}_2\text{O}_3/\text{ZrO}_2$ 粉体的晶粒度,实验范围内,DBS用量为2%时 $\text{Y}_2\text{O}_3/\text{ZrO}_2$ 粉体的晶粒度值最小。这是由于经分散剂处理过的湿凝胶,胶粒周围将形成一层薄的有机膜,并产生由有机聚合链引起的斥力,同时由于颗粒间双电层的重叠作用,使胶粒间相互排斥,减小了颗粒尺寸。

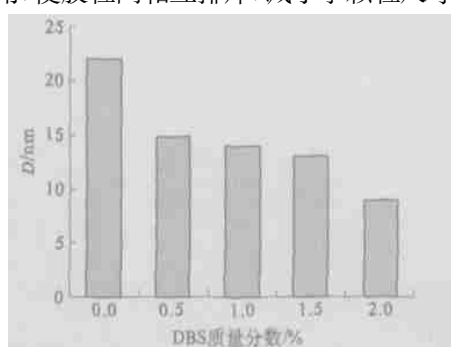


图6 $\text{Y}_2\text{O}_3/\text{ZrO}_2$ 粉体的晶粒度随DBS用量的变化关系

Fig.6 Relationship between apparent crystallite size of $\text{Y}_2\text{O}_3/\text{ZrO}_2$ powder and content of DBS

图7的结果表明,凝胶前驱体的陈化温度升高, $\text{Y}_2\text{O}_3/\text{ZrO}_2$ 超细粉的晶粒度变小,实验条件下,90℃的陈化温度较好。图8为合成 $\text{Y}_2\text{O}_3/\text{ZrO}_2$ 超细粉的显微结构形貌,其粒径在100nm左右,表明有团聚现象发生。

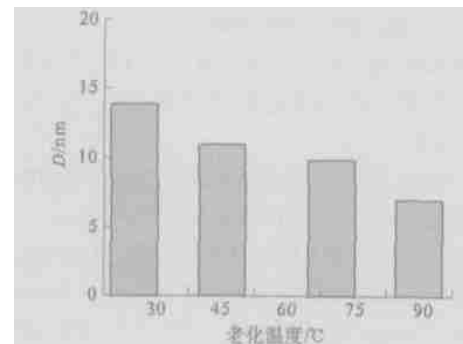


图7 $\text{Y}_2\text{O}_3/\text{ZrO}_2$ 粉体的晶粒度随老化温度的变化关系

Fig.7 Relationship between apparent crystallite size of $\text{Y}_2\text{O}_3/\text{ZrO}_2$ powder and aging temperature



图8 $\text{Y}_2\text{O}_3/\text{ZrO}_2$ 超细粉显微结构形貌(500℃/2h)

Fig.8 SEM photograph of ZrO_2 ultrafine powder calcined at 500℃ for 2h

3 结论

以 $\text{ZrO(OH)}_4 \cdot 8\text{H}_2\text{O}$ 、 $\text{Y}(\text{NO}_3)_3 \cdot 6\text{H}_2\text{O}$ 、浓氨水等为起始原料,利用化学共沉淀法制备了 $\text{Y}_2\text{O}_3/\text{ZrO}_2$ 超细粉体。实验条件下,合成 $\text{Y}_2\text{O}_3/\text{ZrO}_2$ 超细粉的较佳工艺条件为: ZrO_2 晶种用量0.5%;反应温度45℃;反应物浓度0.5ml/L;老化温度90℃;pH值10.00;DBS用量2%。

参考文献:

- [1] AVILA D M, MUCCILLO E N S. Influence of some variables of the precipitation process on the structural characteristics of the fine zirconia powders[J]. *Thermochim Acta*, 1995, 256: 391~396.
- [2] BENEDETTI A, FAGHERAZZI F G, PINNA S Polizzi. Structural properties of ultra fine zirconia powders obtained by precipitation methods[J]. *J. Mater Sci*, 1990, 25(2B): 113~117.

1473~1478.

- [3] HAASE L, YI E M, NICHT H, et al .Preparation and characterization of ultrafine zirconia powder [J] .Ceram Int , 1992, 18: 343~351.
- [4] 王焕英,宋秀芹,陈汝芬·以尿素为沉淀剂制备纳米氧化锆的研究[J]·河北师范大学学报(自然科学版), 2004, 28(2):162~165.
- [5] 曾燮榕,杨 峥·溶胶法合成 $ZrO_2(Y_2O_3)$ 纳米晶超微粉研究[J]·西北工业大学学报, 1995, 13(3):355~358.
- [6] 唐超群,吴新明·YSZ 超细粉末的溶胶—凝胶法制备[J]·材料科学与工程, 1997, 5(2):49~52.
- [7] JORAND Y, TAH A M J, MSSI AEN M, et al .Compaction and Sintering Behaviour of Sol -Gel Powders[J] .Journal of the European Ceramic Society , 1995, 15(5):469~477 .
- [8] MUCCILLO E N S, SOUZ E C G, MUCCILLA R ·Synthesis of reactive neodymia doped zirconia powders by the sol gel technique[J] .Journal of Alloys and Compounds , 2002, 344:175~178.
- [9] HUANG Yong, MA Tian, YANG Jinlong, et al .Preparation

of spherical ultrafine zirconia powder in microemulsion system and its dispersibility[J] .Ceramics International , 2004, 30:675 ~681.

- [10] MA Tian, HUANG Yong, YANG Jinlong, et al Preparation of spherical zirconia powder in microemulsion system and its densification behavior[J] .Materials and Design , 2004, 25:515 ~519.
- [11] CHIFFORD Y Tai, LEE Mei hwa, WU Yu chun .Control of zirconia particle size by using two emulsion precipitation technique[J] .Chemical Engineering Science , 2001, 56: 2389~2398.
- [12] 陈代荣,徐如人·乙二醇甲醚-水溶液作介质水热法合成四方相 $ZrO_2\cdot3\%Y_2O_3$ 纳米晶[J]·高等化学学报, 1998, 19(1):1~4.
- [13] SHIGEYUKI Soma, TOKUJI Akiba .Hydrothermal Zirconia Powders : A Bibliography[J] .Journal of the European Ceramic Society , 1999, 19:81~87.
- [14] 梁丽萍,高荫本,陈诵英,等·制备条件对 ZrO_2 超细粒子尺寸及分布的影响[J]·材料科学与工程, 1997, 15(1):33~38.

Preparation of Y_2O_3/ZrO_2 Ultrafine Powder by Co precipitation Method

ZHANG Hai-jun¹, WANG Gui-hong², JIA Quan-li¹, HAN Fei¹, LI Su-ping¹

(¹Research Institute of High Temperature Ceramics, Zhengzhou University, Zhengzhou 450052, China ; ²Department of Chemistry, Zhengzhou University, Zhengzhou 450052, China)

Abstract : Ultrafine Y_2O_3/ZrO_2 powder is prepared with $ZrOCl_2\cdot8H_2O$, $Y(NO_3)_3\cdot6H_2O$ ammonia as starting materials by co precipitation method . The effects of ZrO_2 crystal seeds, reaction temperature, reactant concentration, pH values, content of active agent (DBS), aging temperature and annealing temperature on the preparation of Y_2O_3/ZrO_2 ultrafine powder are studied . The results show that Y_2O_3/ZrO_2 ultrafine powder with apparent crystallite size about 15 nm and second particle diameter of 100 nm can be prepared, the incipient formation temperature of the Y_2O_3/ZrO_2 powder is at about 400 °C .

Keywords : Y_2O_3/ZrO_2 ; ultrafine powder ; co precipitation ; crystal seed